

# 振動吸収物質の弾性率及び減衰率測定の一方法

光 石 知 國\* 河 合 麟 次 郎\*\*

## A Method of Determining the Modulus of Elasticity and Loss Factor of Damper Materials

By Tomokuni Mitsuishi, Rinjirō Kawai  
Central Laboratory, Hitachi, Ltd.

### Abstract

Reasonance method of determining the modulus of elasticity and damping coefficient is failed when it is applied to rubber or others which posses large damping coefficient, because the resonance curves are too dull and specimens are too small in length. To avoid these difficulties we attempted a modified method and analysed a vibrating system composed of two parts, one of which is a specimen and the other is a metal lod. Some experimental results are illustrated.

### 〔I〕 緒 言

弾性率小さく減衰率の大きい物質の弾性率及び減衰率を求めるには、棒の縦振動の共振を利用する従来の方法はそのまゝでは用いられない。減衰が大きいと共振がはつきり現われないからである。しかし弾性率大きく減衰率の小さい物質と組合せてその連成系の共振を解析すれば目的を達することが出来る。横振動による方法として A. Gemant のやつた例があるが<sup>(1)</sup>、取扱が簡単でない。我々は金属棒の両端に對稱的に試料をはりつけたものについて縦振動の共振による測定を試みた。測定装置の概要を第1圖に示す<sup>(2)</sup>。發振器 O で作った振動電流を  $A_p$  で増巾し勵振電磁石  $M_e$  に通す。  $M_e$  は試料の勵振端面にはりつけられた薄鐵板に對置され試料に強制振動力を及ぼす。試験體の他端にも薄鐵板がはりつけてあり之に對置された檢振電磁石  $M_d$  に振巾に應じた起電力を生じ、之を  $A_r$  で増巾して真空管電壓計 V. V. によつ

て讀む。振動數を變化させて振動數振巾の共振曲線を作り之から弾性率及び損失率(或は減衰率)を算出する。

### 〔II〕 内部摩擦のある丸棒の縦振動

内部摩擦力が變形速度のみの函數でしかもその一次の項で十分近似されると考えると(内部摩擦力がこの外に振巾その他に關係する場合にも一應以上のように考えて然る後に摩擦係數が振幅その他の函數であると考えんことは意味があると思う)棒の太さを考えに入れた運動方程式は、<sup>(3)(4)</sup>

$$\rho \left( \frac{\partial^2 \xi}{\partial t^2} - \sigma^2 a^2 \frac{\partial^4 \xi}{\partial x^2 \partial t^2} \right) = G \frac{\partial^2 \xi}{\partial x^2} + k \frac{\partial^3 \xi}{\partial x^2 \partial t} \dots (1)$$

$\xi$  は軸方向の變位、 $\rho$  は密度、 $G$  は縦弾性率、 $\sigma$  はポアソン比、 $k$  は内部摩擦係數、 $a$  は斷面の極慣性半徑をあらわす。

定常的解を求めるために  $\xi = A \exp(j\omega t)$  とおけば

$$\frac{\partial^2 A}{\partial x^2} = -s^2 A, \quad \frac{1}{s^2} = \frac{\omega^2}{p + j\omega Q}$$

\* \*\* 日立製作所中央研究所



$$P=(G-\rho\sigma^2a^2\omega^2)\times 1/\rho, \quad Q=k/\rho \dots\dots\dots(2)$$

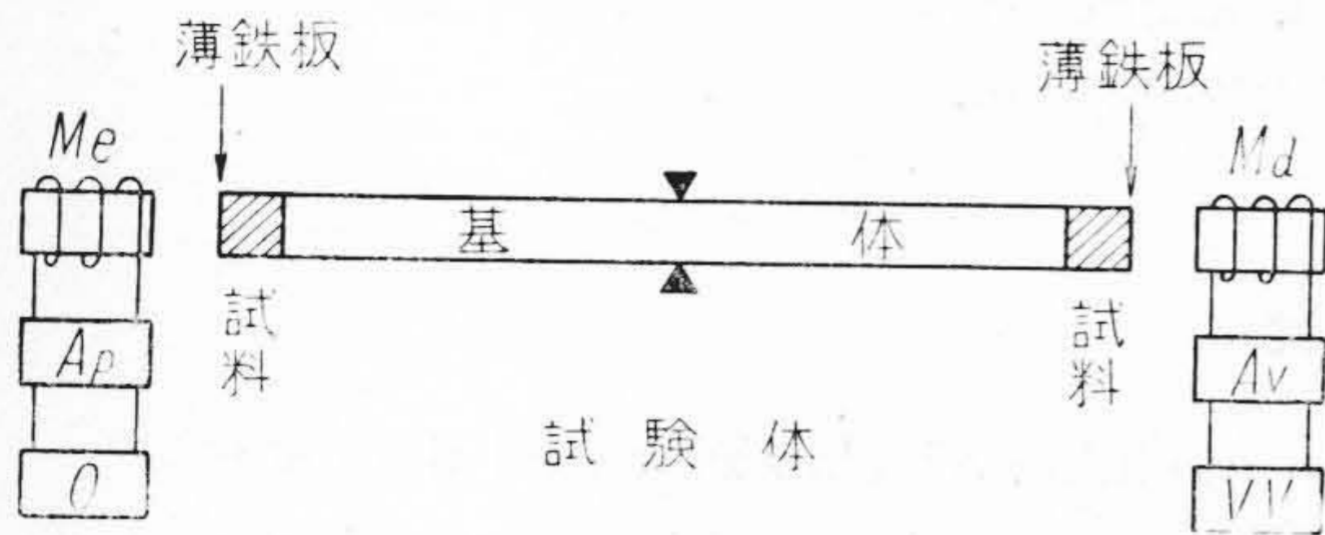
$A=f \exp(zx)$ ,  $z=\omega/c \times (\epsilon+j)$  とおけば  $\epsilon^4$  以上を省略して

$$c^2=P(1+3\epsilon^2) \dots\dots\dots(3)$$

又  $\epsilon^3$  以上を省略した近似で

$$\epsilon=\omega Q/2c^2=\delta/2\pi \dots\dots\dots(4)$$

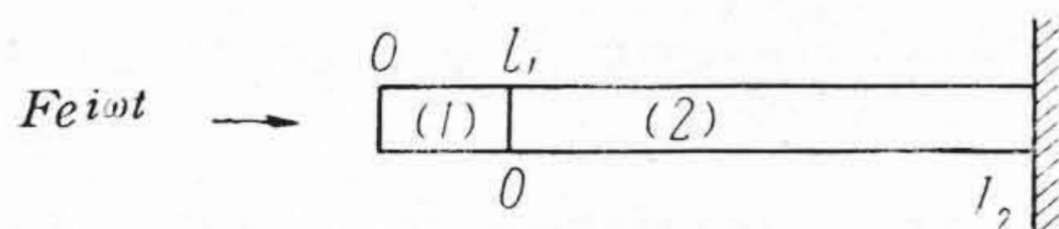
ここに  $\delta$  は棒が自由振動をするときの1周期についての対数減衰率で所謂損失率はその2倍になる。



第1圖 測定装置の概要  
Fig. 1 Diagrammatic Illustration of Measurement.

〔III〕 複合棒の強制振動

第2圖に示すように棒(1)棒(2)を接合し(2)の一端を固定し(1)の自由端に  $F \exp(j\omega t)$  の強制振動を加えるときの定常振動を考える。



第2圖 複合棒の振動  
Fig. 2 Vibration of Combined System.

共振時の歪力に比べ強制力が無視出来る時には、この振動姿態は緒言で述べた試験體を中心で支えた時の振動姿態と同等である。夫々の棒につき左端を原点にとれば夫々の変化は

$$\xi=(f \exp(-zx)+g \exp(zx)) \exp(j\omega t)$$

$f, g$  は境界条件(5)から定まる常數である。棒の斷面積を  $S$  とすると境界条件は

$$G_1 z_1 (g_1-f_1)=F/S \dots\dots\dots(5a)$$

$$f_1 \exp(-z_1 l_1)+g_1 \exp(z_1 l_1)=f_2+g_2 \dots\dots\dots(5b)$$

$$G_1 z_1 (g_1 \exp(z_1 l_1)-f_1 \exp(z_1 l_1))=G_2 z_2 (g_2-f_2) \dots\dots(5c)$$

$$f_2 \exp(-z_2 l_2)+g_2 \exp(z_2 l_2)=0 \dots\dots\dots(5d)$$

之等から  $f_{1,2}, g_{1,2}$  を求めて  $\xi$  の式に入れると

$$\xi_1=(F/S) (\exp(j\omega t)/2\omega(R+jI))$$

$$\begin{aligned} & [ \{ (1+r) \exp(z_1 l_1+z_2 l_2) - (1-r) \exp(z_1 l_1-z_2 l_2) \} \\ & \times \exp(-z_1 x) + \{ (1-r) \exp(-z_1 l_1+z_2 l_2) \\ & - (1+r) \exp(-z_1 l_1-z_2 l_2) \} \exp(z_1 x) ] \end{aligned}$$

$$\xi_2=(F/S) (\exp(j\omega t)/\omega(R+jI)) [ \exp(z_2 l_2-z_2 x) - \exp(-z_2 l_2+z_2 x) ]$$

$$r=G_2 z_2/G_1 z_1$$

眞空管電壓計の読み  $c(\infty\omega\xi)$  の極大値附近の様子を調べるには  $|R+jI|$  の変化を調べればよい。以下の共振曲線について考える。測定をするのは  $l_1=const.$  の条件下であるが計算を容易にするため  $\omega l_1=const.$  の条件で近似する。 $\omega$  の變化範圍は  $\omega$  自身にくらべ非常に小さいからこのことは許される。(5)を解いて求めた  $R, I$  の式は

$$R=a^+ \cos h(+)\cos(+)-b^+ \sinh(+)\sin(+)$$

$$-a^- \cos h(-)\cos(-)+b^- \sinh(-)\sin(-)$$

$$I=a^+ \sin h(+)\sin(+)+b^+ \cos h(+)\cos(+)$$

$$-a^- \sinh(-)\sin(-)-b^- \cosh(-)\cos(-)$$

$$a^\pm=(\epsilon_1 G_1/c_1 \pm \epsilon_2 G_2/c_2), \quad b^\pm=(G_1/c_1 \pm G_2/c_2)$$

$$\sinh(\pm)=\sinh(\epsilon_1 \alpha \pm \epsilon_2 \beta), \quad \sin(\pm)=\sin(\alpha \pm \beta)$$

$$\alpha=\omega l_1/c_1, \quad \beta=\omega l_2/c_2$$

$|\epsilon_1 \alpha + \epsilon_2 \beta| \ll 1$  の場合  $\sin \alpha=a, \cos \alpha=b, \sin \beta=A, \cos \beta=B, G_1/c_1=X, G_2/c_2=Y$  とおいて

$$R=Y\epsilon_2 bB-X\epsilon_1 aA-(X\epsilon_2 \beta+Y\epsilon_2 \alpha) aB$$

$$-(X\epsilon_1 \alpha+Y\epsilon_2 \beta) bA \dots\dots\dots(6a)$$

$$I=(X\beta+Y\alpha) \epsilon_1 \epsilon_2 aB+(X\epsilon_1^2 \alpha+Y\epsilon_2) bA$$

$$+YbB-XaA \dots\dots\dots(6b)$$

以下肩符 ' は  $\beta$  についての微分記號とし又變數の値は共振點におけるものとする。共振條件として

$$(R^2+I^2)'=RR'+II'=0$$

$$\therefore R=I'A, \quad I=-R'A \dots\dots\dots(7)$$

$A$  は次に定める係數である。振動エネルギーが極大値の半分になる點即ち振幅に於て  $1/\sqrt{2}$  になる點の共振點からの偏移を  $d\beta$  とすれば  $(d\beta)^3$  以上を省略して

$$(R^2+I^2)''(d\beta)^2=2(R^2+I^2)$$

之と(7)とから  $\epsilon^2$  以上を省略した近似で

$$A=d\beta$$



となる。

〔IV〕 共振式及び減衰式

$\epsilon$  を全く省略した  $YbB - XaA = 0$  を第一近似共振式とする。この式を利用して  $R = I' A$  から減衰式を求めると

$$X\epsilon_1 (\alpha \sec^2 \alpha + \tan \alpha) + Y\epsilon_2 (\beta \operatorname{cosec}^2 \beta - \cot \beta) = 4Y \operatorname{cosec}^2 \beta \dots\dots\dots(8)$$

共振点偏移率 (基体棒のみの共振点からの試料をつけたための共振点のずれを元の共振振動数で割つたもの)

$\delta\omega/\omega$  が 1 にくらべて小さい所で  $I = -R' A$  から主な項を拾つて  $XaA = YbB + X\epsilon_1^2 \alpha bA$  を得るが、之と (3) から共振式を求めると

$$\frac{\tan \alpha}{\alpha} = - \frac{m_2(1 + 4\pi^2 \sigma_2^2 a^2/\lambda_2^2)}{m_1(1 + 4\pi^2 \sigma_1^2 a^2/\lambda_1^2)} \frac{\delta\omega}{\omega} (1 + 3\epsilon_1^2) + \epsilon_1^2 \dots\dots\dots(9)$$

$m_1, m_2$  は夫々棒<sup>(1)</sup>棒<sup>(2)</sup>の質量である。

次にエネルギー関係から別途に減衰式を導いてみる。一般に共振の鈍さ  $b (= 2 d\omega/\omega)$  と系のエネルギー損失率 (1 周期の間に失われるエネルギーを系の弾性エネルギーで割つたもの)  $\theta$  との間には  $\theta = 2\pi b$  の関係があるとされている<sup>(1)</sup>。前に求めた  $\xi$  によつて  $\theta$  を計算すると

$$\theta = \frac{\int \int k_1 \frac{\partial^2 \xi_1}{\partial x^2 \partial t} \frac{\partial \xi_1}{\partial t} dx dt + \int \int k_2 \frac{\partial^2 \xi_2}{\partial x^2 \partial t} \frac{\partial \xi_2}{\partial t} dx dt}{\int \int G_1 \frac{\partial^2 \xi_1}{\partial x^2} \frac{\partial \xi_1}{\partial t} dx dt + \int \int G_2 \frac{\partial^2 \xi_2}{\partial x^2} \frac{\partial \xi_2}{\partial t} dx dt}$$

$t$  についての積分は分子では 1 周期、分母では  $1/4$  周期にわたり行い、 $x$  については棒全體にわたり行う。そうすると (2), (4) から

$$\theta = \frac{(4\pi\rho_1\epsilon_1 \int |\xi_1|^2 dx + 4\pi\rho_2\epsilon_2 \int |\xi_2|^2 dx)}{[(G_1/c_1^2) \int |\xi_1|^2 dx + (G_2/c_2^2) \int |\xi_2|^2 dx]}$$

$$\sec^2 \alpha + \tan \alpha / \alpha = T_1, \operatorname{cosec}^2 \beta - \cot \beta / \beta = T_2$$

とおけば減衰式として

$$d\omega/\omega = (\epsilon_1 m_1 T_1 + \epsilon_2 m_2 T_2) / (m_1 T_1 + m_2 T_2) \dots\dots(10)$$

この式は近似的に (8) に一致し  $\theta = 2\pi b$  の関係がこの場合にも成立つことを確證する。

〔V〕 端面に附着した集中質量の影響及び接着層の影響

測定のために端面につけた鐵片の影響は無視出来ない。

鐵片の質量を  $M$  とすれば境界条件 (5a) は次式でおきかえられる。

$$SG_1 z_1 (g_1 - f_1) = F - M\omega^2 (f_1 + g_1)$$

こゝでは  $\epsilon$  を省略して考える。そうすると  $R, I$  の中の  $\alpha$  を  $(\alpha + \psi)$  ( $\psi = \arctan (M\omega/X)$ ) でおきかえることによつて前の議論がそのまま成立ち共振式は棒が十分細い時は

$$\frac{\tan (\alpha + \psi)}{\alpha + \psi} = - \frac{m_2}{m_0} \frac{\delta\omega}{\omega} (1 + 3\epsilon_1^2) + \epsilon_1^2 \frac{\alpha}{\alpha + \psi} \dots\dots(11)$$

$$\tan \psi = M\omega/X, l_0 = (\alpha + \psi) (c_1/\omega), m_0 = \rho_1 l_0$$

$M\omega \ll X$  ならば  $m_0 = m_1 + M$ ,  $\psi = M\omega/\rho_1 c_1$  で Rayleigh が “Theory of Sound” で示したものに一致する。減衰式は變更なく (10) と同じである。

次に接着層の影響であるが、之は境界条件から容易に判るようにこの層内での弾性波の波長  $\lambda$  に較べ層の厚さ  $d$  が小さければ無視して差支えなく、そのための誤差の割合は  $d/\lambda$  の程度である。

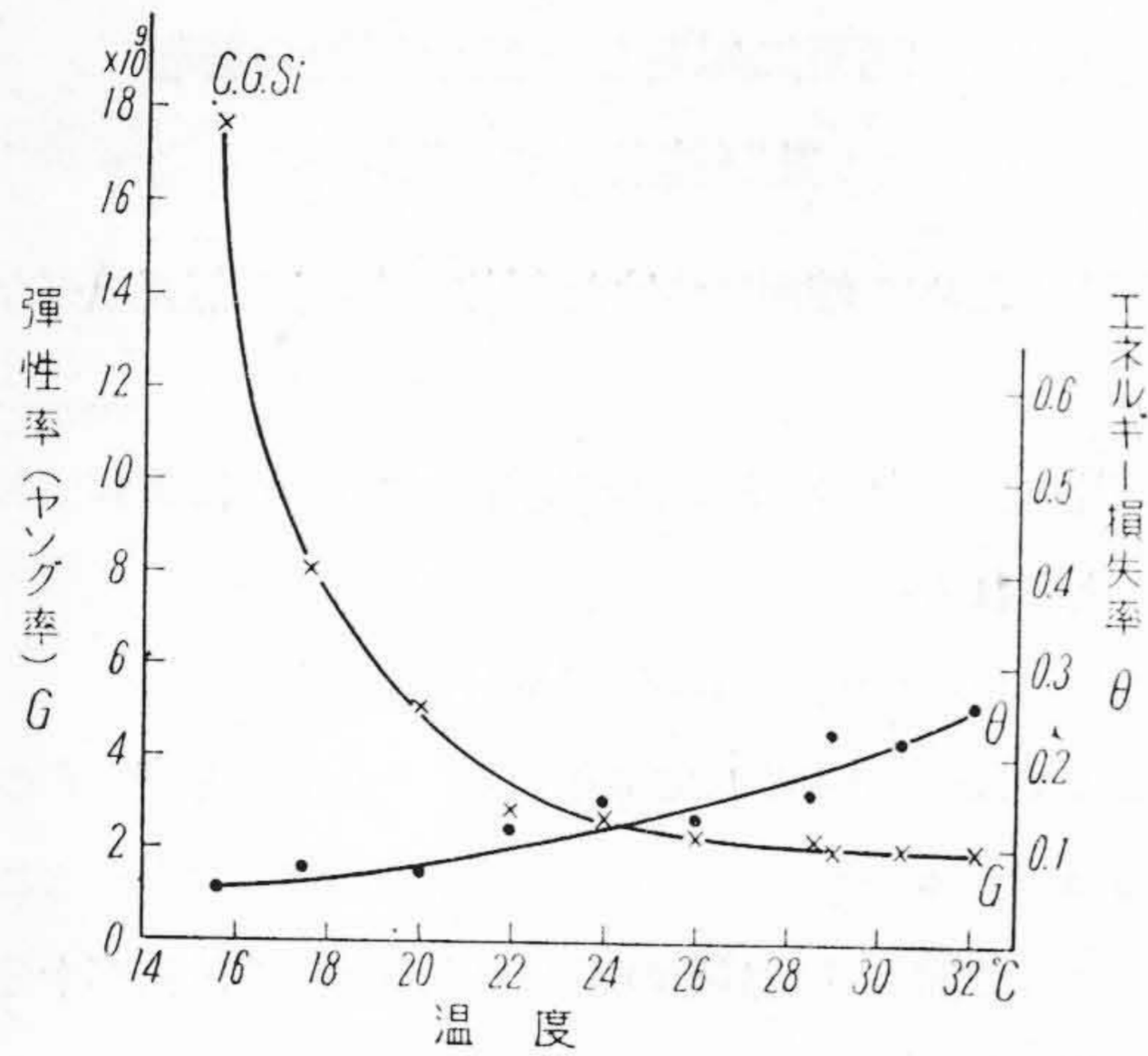
重要なのは接着層そのものゝ影響よりもむしろ接着したために棒自身の性質が境界附近で變ることである。半径方向の變位が一般には喰違うために見掛上弾性率が變つてくる。これはこの方法に本質的な難點であるが、棒の太さを十分細くすればその誤差は省略出来るし、又試行により試料の長さを波長の整数倍に近く選んで境界面を振動の腹に近くすることが出来ればこの影響を消去することが出来る。

〔VI〕 測定例

(11) 及び (10) により  $\delta\omega$  及び  $d\omega$  の測定値から弾性率及び損失率の近似値を算出することが出来、必要ならば逐次近似を行うことが出来る。この際  $m_2$  としては實際の基体棒質量の本分をとらなければならない。

第 3 圖に測定例を示す。試料は硫黄 14% スモークド





第3圖 14%加硫ゴムの弾性的性質の温度特性  
 Fig. 3 Temperature Dependence of Elastic Properties of 14% Vulcanized Rubber.

シート 86% の加硫ゴムで直径 8 耗、長さ 13.8 耗、鐵片質量 0.12 瓦、基體棒はアルミニウムで長さ 700 耗、質量 95.5 瓦、直径 8 耗で  $m_2/m_0=54$  であつた。

$\delta\omega$  は小さいので發振器の周波數變動が大きな誤差の原因となるが、之を避けるために基體棒と略々同一の棒をもう一本作り之によつてその時その時の周波數を較正

した。

〔VII〕 結 言

最近米國に於て種々巧妙な測定法が發表されているが<sup>(5)</sup>、前述の難點に注意さえすればこゝに述べた方法はその取扱いの簡単な點に於て有用なものであると思う。基體棒の長さを變えることによつて測定可能な振動數範圍は數百から數千サイクルに及び、試料部は簡単に恒温槽内に入れられるので任意の温度で測定することが出来る。

參 考 文 獻

- (1) A.Gemant: J. App. Phys. Vol. 11 (1490) 647
- (2) 河合、中研研究報告、第290號
- (3) W.G. Cady: Phys. Rev. Vol. 19 (1922) 1
- (4) 妹澤克惟: 振動學 163
- (5) A.W. Nolle: J. App. Phys. Vol. 19 (1948) 953

第 33 卷 日 立 評 論 第 6 號

日本國有鐵道山邊發電所・27,500 kW 水車.....	日立製作所・日立工場・小森谷 亨
日本國有鐵道山邊發電所・28,000 kVA 豎軸交流發電機に就いて.....	日立製作所・日立工場 {高木 正 菊地 彌十郎
日本國有鐵道山邊發電所・配電盤及び搬送保護繼電裝置.....	{日立製作所・戸塚工場・家形 秀夫 日立製作所・多賀工場 {川井 晴雄 森井 進 猿渡 房吉
日本國有鐵道山邊發電所・遮斷器及び斷路器.....	日立製作所・多賀工場 {太田原 康夫 加藤 清次
日本國有鐵道山邊發電所・水力發電所に於ける電子管の應用.....	日立製作所・多賀工場 {島田 稔 比良 清一
刷子の諸特性を考慮した整流理論(續報).....	日立製作所・日立研究所・一木 利信
線路障害測定器.....	日立製作所・戸塚工場 {池田 國治 常川 眞平

東京都品川區  
大井坂下町 2717

日 立 評 論 社

誌代 ¥ 30.00 〒 6.00  
六册 ¥200.00(送料共)